

همسانه سازی و بررسی ژن های شبه سایکلوتایید در ذرت

Cloning and Characterization of Cyclotide-Like Genes in *Zea mays*

سمیرا ترکمن^۱، بهمن بهرام نژاد^{۲*} و نازنین کودری^۱

تاریخ پذیرش: ۹۱/۱۰/۲

تاریخ دریافت: ۹۱/۳/۲۱

چکیده

سایکلوتاییدها دسته‌ای بزرگ از پپتیدهای حلقوی هستند که فعالیت‌های زیستی متنوعی دارند. از جمله می‌توان به فعالیت ضد میکروبی، ضد توموری، ضد ویروسی، تخریب گلبولهای قرمز، سلول‌کشی و حشره‌کشی اشاره کرد. شبه سایکلوتاییدها در گیاهان به صورت خانواده ژنی بیان شده و دارای نواحی حفاظت شده می‌باشند. در این پژوهش بر اساس توالی نواحی حفاظت شده پروتئین آغازگر طراحی شد و با استفاده از تکنیک RACE-PCR³ ژن‌های کدکننده پروتئین‌های شبه سایکلوتایید در ذرت همسانه سازی و تعیین توالی شدند. مقایسه توالی‌های به دست آمده با توالی‌های موجود در پایگاه داده‌های ژنی PGI نشان داد که تعداد نه ژن شبه سایکلوتایید جدید در ذرت به دست آمده است. مقایسه توالی نوکلئوتیدی و اسید‌آمینه‌ای این ژن‌ها آنها را به دو دسته تقسیم کرد. دسته اول شباهت زیادی با سایر شبه سایکلوتاییدها موجود در پایگاه داده‌های ژنی داشته و دارای نواحی حفاظت شده سایکلوتایید بودند. دسته دوم دارای ساختار منظم سایکلوتاییدی نبودند و تعداد نوکلئوتیدهای این دو دسته از ۴۱۳-۴۸۵ متغیر بود. این اولین گزارش در زمینه همسانه سازی ژن‌های شبه سایکلوتایید در گرامینه‌ها بود و نشان داد که ذرت تنوع بالایی از این ژن‌ها دارد.

واژه‌های کلیدی: شبه سایکلوتایید، ذرت، پپتیدهای حلقوی ضد میکروبی، PCR-RACE³

۱. دانشجویان کارشناسی ارشد بیوتکنولوژی کشاورزی، گروه بیوتکنولوژی کشاورزی، دانشگاه کردستان، سنندج
۲. استادیار گروه بیوتکنولوژی کشاورزی، دانشکده کشاورزی، دانشگاه کردستان، سنندج
* نویسنده مسؤول Email: b.bahramnejad@uok.ac.ir

مقدمه

مارپیچ آلفا است و در تبدیل پیش پروتئین سایکلوتایید به سایکلوتایید بالغ نقش دارد.

سایکلوتاییدها متعلق به پروتئین‌های دفاعی گیاهان می‌باشند. علاوه بر تنש‌های زیستی، بیان این ژن‌ها در تنش‌های غیرزیستی نیز گزارش شده است. برای مثال بیان ژن‌های سایکلوتایید در گیاه *O. affinis* هنگام حمله عامل بیماری‌زا افزایش یافت. در گیاه *Viola baoshanensis* تنش کادمیوم بیان سایکلوتاییدها را افزایش داد ژانگ و همکاران (۲۰۰۹). علاوه بر این نقش‌های زیستی زیادی برای سایکلوتاییدها گزارش شده است که از جمله می‌توان به فعالیت‌های ضد ایدز (Chen et al. 2005)، جلوگیری از اتصال ناقل عصبی نوروتنسین به غشا سلولی (Witherup et al. 1994)، تسهیل زایمان (Gran et al. 1973)، تخریب گلبولهای قرمز (Schöpk et al. 1993)، فعالیت علیه سلول‌های سلطانی (Lindholm et al. 2002) و فعالیت‌های حشره‌کشی (Jennings et al. 2005) اشاره نمود.

سایکلوتاییدها تاکنون در سه خانواده بنفشیان، روناس و کدوئیان گزارش شده است (Herrmann et al. 2008). مطالعات بعدی وجود توالی‌های شبه‌سایکلوتاییدی را در گرامینه‌هایی مانند گندم، ذرت و برنج نشان داده است (Mulvena et al. 2006). مهم‌ترین شباهت شبه‌سایکلوتاییدها با سایکلوتاییدها در حلقه شماره یک ساختار سه‌بعدی می‌باشد که واجد اسیدآمینه گلوتامیک است که در همه سایکلوتاییدها کاملاً حفظ شده است و در توالی‌های شبه‌سایکلوتاییدی نیز وجود دارد. این اسیدآمینه در پایداری ساختار سایکلوتاییدها بسیار مهم است (Mulvena et al. 2006). هریک از ژن‌های شناسایی شده در گرامینه‌ها حاوی توالی سیگنال استاندارد شبکه آندوبلاسمی و پیش‌پروتئین می‌باشد. این پیش‌پروتئین شامل ۳۶-۴۶ اسیدآمینه است که شامل شش اسیدآمینه سیستئین بسیار شبیه سایکلوتاییدهای شناخته می‌باشند. در ذرت ده، گندم پنج و ارزن یک توالی شبه سایکلوتایید احتمالی بر اساس داده‌پردازی‌های زیستی در پایگاه داده PGI گزارش شده (Mulvena et al. 2006).

تاکنون هیچ گزارشی در مورد همسانه‌سازی و مطالعه ژن‌های شبه سایکلوتاییدی در غلات منتشر نشده است و موارد فوق براساس داده‌پردازی‌های زیستی در پایگاه داده EST این گیاهان بوده است. هدف از این تحقیق همسانه‌سازی ژن‌های کدکننده شبه‌سایکلوتایید در ذرت و تعیین توالی این همسانه‌ها و مقایسه توالی‌ها با سایر شبه‌سایکلوتاییدهای موجود در پایگاه داده‌های EST می‌باشد.

سایکلوتاییدها پروتئین‌های غیرعادی هستند که اولین بار در سال ۱۹۷۰ در مطالعه خواص دارویی گیاهی آفریقایی بنام کالاتا کالاتا شناسایی شدند (Gran et al. 1973). ساختار پروتئینی در سایکلوتاییدها خاص و منحصر به‌فرد است و باعث پایداری پروتئین در برابر تجزیه شیمیایی، دمایی و آنزیمی می‌گردد (Colgrave et al. 2004). انتهای کربوکسیلی و آمینی این پروتئین‌ها توسط پیوند پیتیدی به‌هم متصل شده اند و در نتیجه ایجاد ساختاری حلقوی می‌کنند. این پروتئین‌ها حلقوی به‌طور تقریب دارای ۳۰ اسیدآمینه هستند که در بین آنها شش اسیدآمینه سیستئین وجود دارد که دو به دو توسط پیوند دی‌سولفیدی به‌هم متصل شده‌اند و در نتیجه پروتئین سایکلوتایید دارای سه پیوند دی‌سولفید است که ساختاری به نام گره‌های سیستئینی حلقوی به‌وجود می‌آورند (Craik et al. 1999). ساختار حلقوی نقش مهمی در فعالیت و پایداری پروتئین ایفا می‌کند و وجود گره‌های سیستئینی حلقوی برای پایداری در برابر دمای بالا مهم است (Colgrave, 2004 and Craik, 2004). پیوندهای دی‌سولفیدی در قسمت داخلی پروتئین قرار می‌گیرند و در نتیجه باعث آبگریزی سطح خارجی پروتئین می‌شوند (Burman et al. 2008).

سایکلوتاییدها به دو زیر خانواده مهم موبیوس و بریسلت تقسیم می‌شوند. این تقسیم‌بندی براساس کونفورماتیون اسیدآمینه پرولین در حلقه پنجم است. حضور پیوند پیتیدی به‌حالت سیس باعث چرخش در ساختمان پروتئین می‌شود. زیر خانواده موبیوس دارای پیوند پیتیدی به‌حالت سیس و زیر خانواده بریسلت فاقد این ساختار می‌باشد کریک و همکاران، (Jennings et al. 2005) و (Zhang et al. 2009). بریسلت‌ها شامل تعداد زیادی اسیدهای اسیدهای کاتیونی در حلقه پنج و شش و همچنین دارای یک مارپیچ α در حلقه سه هستند. حلقه یک و چهار در هر دو زیر خانواده حفظ شده است.

ژن‌های کدکننده سایکلوتاییدها شامل قسمت‌هایی به نام ناحیه کدکننده سیگنال پیتید، ناحیه ابتدایی، انتهای آمینی، ناحیه سایکلوتایید و دم می‌باشد. این ژن‌ها ابتدا به صورت پیش‌پروتئین سایکلوتایید بیان شده و پروتئین اولیه حاصل در نتیجه برش آنزیمی، تشکیل باندهای دی‌سولفید و سپس اتصال ابتدا و انتهای آن به هم به صورت حلقوی و بالغ در می‌آید (Gruber et al. 2007). انتهای آمینی دارای ساختار

مشخص کردن ناحیه حفاظت شده آغازگر اختصاصی طراحی شد(جدول ۱).

3'RACE-PCR

واکنش زنجیره‌ای پلیمراز 3'RACE براساس دستورالعمل بهرامنژاد و همکاران(Bahramnejad *et al.* 2010) انجام گرفت. در واکنش ۲۵mL شامل ۲mL از cDNA سنتز شده، ۱۲mL Mastermix، ۸mL آب فاقد نوکلئاز، ۱mL ۱/۵ آغازگر اختصاصی با غلظت ۱00mM، ۱mL ۱/۵ معکوس با غلظت ۱00mM انجام شد. شرایط زمانی و دمایی واکنش زنجیره‌ای پلیمراز بهصورت ۹۴°C بهمدت ۳ min برای شروع و سپس ۳۵ چرخه شامل ۹۴°C بهمدت ۴۰s، ۵۳°C بهمدت ۵۰s ۷۲°C، ۴۰s ۴۰°C و در نهایت ۷۲°C بهمدت ۲۰ min بود.

آنالیز محصول PCR در ژل آگارز ۱٪ با رنگآمیزی اتیدیوم بروماید صورت گرفت و سپس باند مورد نظر از ژل جدا شد. خالص‌سازی باند مورد نظر از ژل آگارز توسط کیت Vivantis Nucleic Acid Extraction (شرکت) صورت گرفت. برای تأیید وجود قطعه مورد نظر از ژل آگارز ۱٪ استفاده شد و همچنین غلظت آن توسط نانودرایپ اندازه‌گیری شد. DNA جدا شده از ژل، با استفاده از کیت (Fermentase, ۱۲۱۴K) InsTAClone™ PCR cloning kit درون ناقل همسانه‌سازی شد. ناقل موجود در این کیت مقاوم به آنتی‌بیوتیک آمپی‌سیلین است.

مواد و روش‌ها مواد گیاهی

بدور گیاه ذرت (رقم سینگل کراس K۷۰۴) در شرایط اتفاق رشد در آزمایشگاه بیوتکنولوژی دانشکده کشاورزی دانشگاه کردستان با دمای $20\pm2^\circ\text{C}$ درجه سانتی‌گراد و شرایط نوری ۱۴h روشنایی و ۱۰h تاریکی کشت شدند و پس از جوانهزنی از کلئوپتیل‌ها نمونه برداری صورت گرفت و بلافارسله داخل ازت مایع قرار داده شد.

استخراج RNA

از کلئوپتیل‌های برداشت شده با استفاده از کیت AccuZol™ (شرکت BIONEER) استخراج RNA صورت گرفت و با کمک ژل آگارز ۱٪ صحت حضور آنها مورد بررسی قرار گرفت و کیفیت RNA با دستگاه نانودرایپ (WPA Biowave II، انگلستان) تعیین شد.

cDNA سنتز

به منظور سنتز cDNA از کیت RevertAid™ first strand cDNA (شرکت) با کمک آغازگر Oligo dT-anchor (MMLV) توسط آنزیم رونویسی معکوس از RNA های استخراج شده، اولین رشته cDNA سنتز شد.

طراحی آغازگر

با استفاده از توالی‌های نوکلئوتیدی پروتئین‌های شبه‌سایکلوتاید گندم و ذرت موجود در سایت PGI (<http://compbio.dfci.harvard.edu/tgi/plant.html>) و هم‌رده‌یافی آنها در سایت ClustalW (<http://www.ebi.ac.uk>) ClustalW با

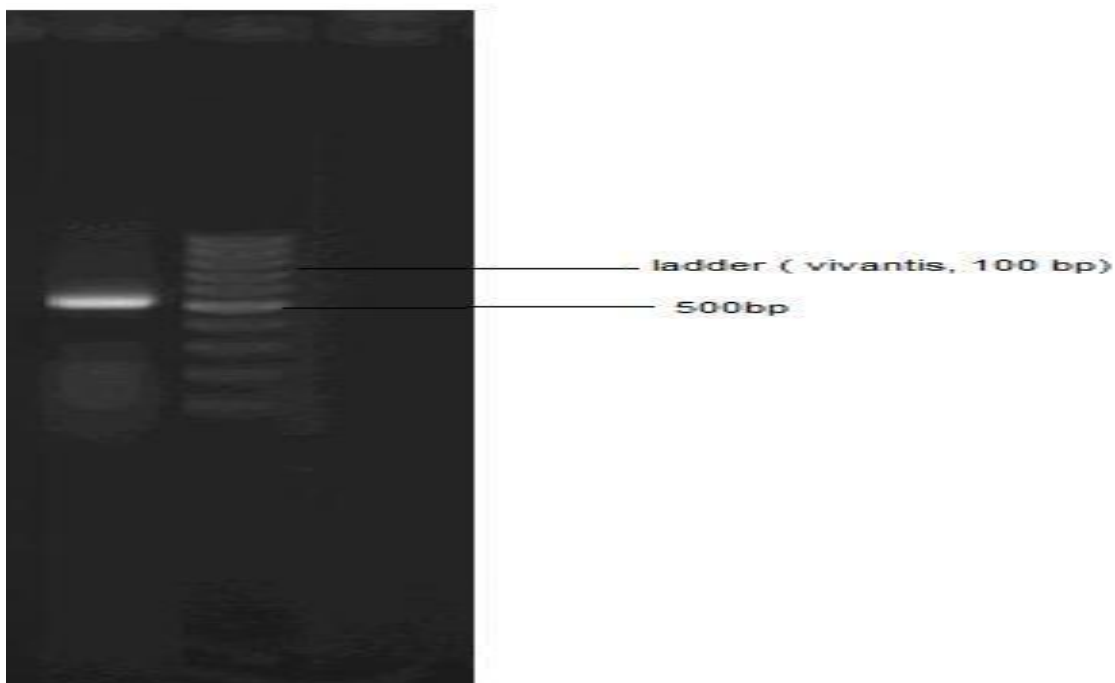
جدول ۱: توالی آغازگرها

Table 1: Primers' sequences

نام آغازگر name sequences	توالی آغازگر primer sequences
ZF(Forward)	AGAGAGAGAGGAAAGCTAGC
ZR(reverse)	CAATAAGTTAACACCACCG
Oligo dT anchor primer	GACCACGGGTATCGATGTCGACTTTTTTTTTTTTV
PCR anchor primer	GACCACGGGTATCGATGTCGAC

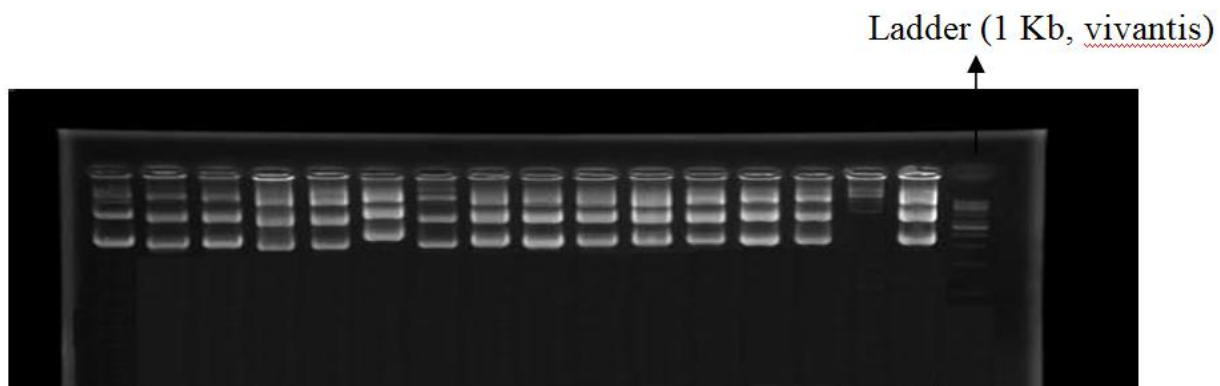
جدول ۲: مشخصات شبه‌سایکلوتایهای موجود در شکل ۶
Table 2: Characteristic of cyclotide-like gene in Fig 6

Identity with یکسانی با	Identity یکسانی	E value	Length Bp اندازه(جفت باز)	Name نام	Plant گیاه	Source منبع	EST associated number
							–
NM001151219	88%	1e-155	485	Zm cyc1	<i>Zea mays</i>	Current study	–
BT009169	88%	8e-148	467	Zm cyc2	<i>Z. mays</i>	Current study	–
BT009169	87%	1e-142	464	Zm cyc3	<i>Z. mays</i>	Current study	–
BT009169	95%	4e-142	463	Zm cyc4	<i>Z. mays</i>	Current study	–
BT009169	95%	2e-143	513	Zm cyc5	<i>Z. mays</i>	Current study	–
BT009169	75%	5e-30	425	Zm cyc6	<i>Z. mays</i>	Current study	–
CF015733	74%	106e-37	470	Zm cyc7	<i>Z. mays</i>	Current study	–
EU975452	83%	2e-44	413	Zm cyc8	<i>Z. mays</i>	Current study	–
BT009169	92%	5e-25	412	Zm cyc9	<i>Z. mays</i>	Current study	–
			383	S1	<i>Sorghum bicolor</i>	P G I	BE125990
			562	H1	<i>Hordeum vulgare</i>	P G I	AL450615
			474	Z1	<i>Z. mays</i>	P G I	CF060985
			502	Z2	<i>Z. mays</i>	P G I	CF014141
			505	Z3	<i>Z. mays</i>	P G I	CK369406
			526	Z4	<i>Z. mays</i>	P G I	BM379838
			518	Z5	<i>Z. mays</i>	P G I	CF630454
			538	Z6	<i>Z. mays</i>	P G I	CF013901
			392	Z7	<i>Z. mays</i>	P G I	CN070702
			496	Z8	<i>Z. mays</i>	P G I	BI674581
			571	Z9	<i>Z. mays</i>	P G I	BM080572
			601	Z10	<i>Z. mays</i>	P G I	CK368015
			429	W1	<i>Triticum aestivum</i>	P G I	CA617438
			907	W2	<i>T. aestivum</i>	P G I	CK154330
			889	W3	<i>T. aestivum</i>	P G I	CK154890
			596	W4	<i>T. aestivum</i>	P G I	CA595705
			466	W5	<i>T. aestivum</i>	P G I	BE591233



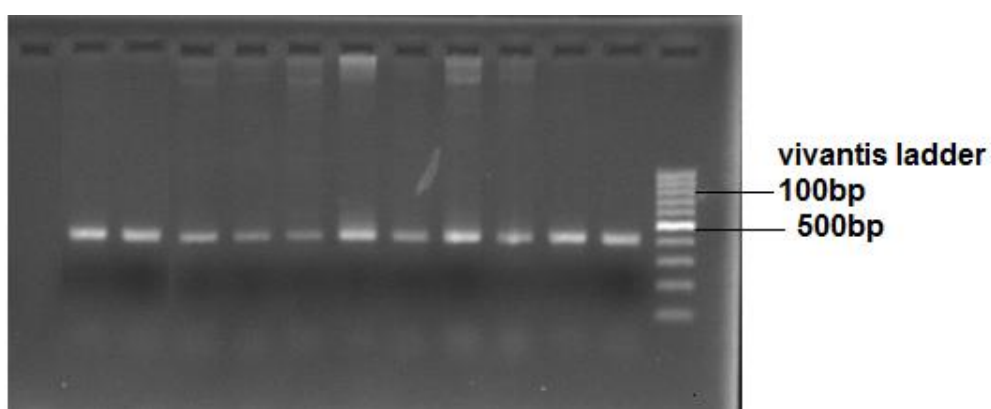
شکل ۱: محصولات واکنش زنجیره‌ای پلی‌مراز که پس از انجام تکنیک ۳'RACE-PCR روی ژل آگارز ۱٪ مشاهده شد

Fig1: 3' RACE-PCR amplified product on 1% agarose gel



شکل ۲: تصویر ژل الکتروفورز، استخراج پلاسمید از کلونی‌های سفید

Fig 2: Plasmid extraction from white colony



شکل ۳: تصویر ژل آگارز، واکنش زنجیره‌ای پلی‌مراز توسط آغازگرهای Zf و Zr از پلاسمیدهای استخراج شده

Fig 3: PCR amplification with Zf and Zr primer of extracted plasmid

و هم حجم آن ایزوپروپانول اضافه شد. پس از مخلوط کردن به مدت ۳۰ min در فریزر ۲۰°C- قرار داده شد و بعد سانتریفیوژ (به مدت ۲۰ min، دمای ۴۰°C و ۱۲۰۰۰ rpm) شد و رسوب به دست آمده با اتانول ۷۰٪ شستشو داده شد و بعد از خشک شدن رسوب ۵۰ µl آب استریل به آن اضافه شد و رسوب حاصل در آن حل گردید. برای تایید حضور پلاسمید از ژل آگارز ۱٪ استفاده و کیفیت پلاسمیدها با نانودرآپ سنجیده شد (برای رنگ آمیزی ژل‌ها از اتیدیوم بروماید⁻¹ mg/lit استفاده شد). ۰/۵ µl از پلاسمید استخراج شده با آب استریل PCR رقیق گردید و ۰/۰۵ µl از آن به عنوان الگو در واکنش ۱/۵ µl master mix ۸ µl آب، ۱/۵ µl آغازگر مستقیم و ۱/۵ µl آغازگر معکوس اختصاصی (با غلظت ۱۰۰ µM) استفاده و محصول PCR در ژل آگارز ۱٪ بارگذاری و با مشاهده باند موردنظر صحت پلاسمیدهای نوترکیب تایید شد.

تعیین توالی و آنالیز بیوانفورماتیکی

تعداد ۱۲ پلاسمید نوترکیب تاییدشده، برای تعیین توالی به شرکت Pioneer (کشور کره‌جنوبی) فرستاده شد. توالی‌های NCBI به دست آمده ابتدا در پایگاه اطلاعاتی NCBI (کشور آمریکا) (<http://www.ncbi.nlm.nih.gov/>)، بلاست گردیدند و پس از تایید این که توالی‌های به دست آمده شبه‌سایکلوتایید هستند، اقدام به ترجمه توالی‌ها (<http://web.expasy.org/translate/>) نموده و اسید‌آمینه‌ای آنها توسط پایگاه اطلاعاتی (<http://www.ebi.ac.uk>) هم‌ردیف و توسط نرم‌افزار Mega4 درخت تکاملی آنها رسم شد.

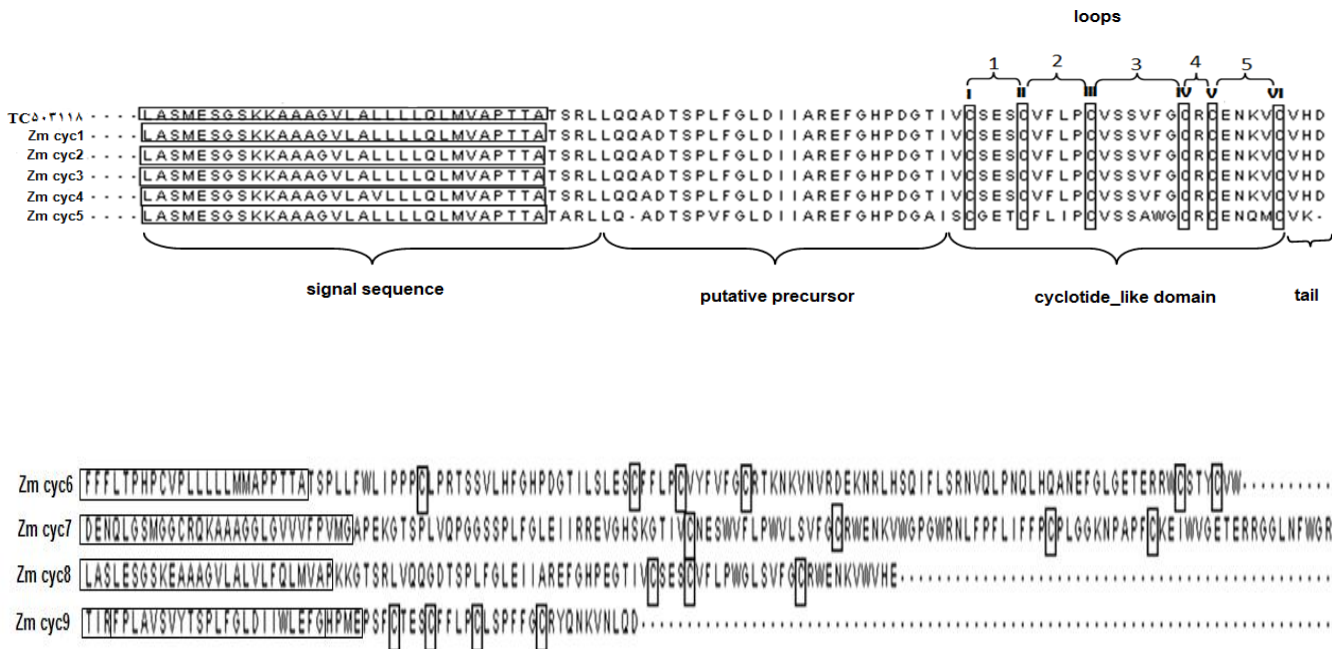
نتایج و بحث

در این پژوهش توالی‌های نوکلئوتیدی و اسید‌آمینه‌ای شبه‌سایکلوتاییدی موجود در ذرت بررسی شد و توالی‌های به دست آمده در این مطالعه Zm cyc1-۹ با خانواده پروتئین‌های شبه‌سایکلوتایید حلقی موجود در پایگاه داده‌ای غلات مقایسه شدند. بر اساس توالی‌های به دست آمده و مقایسه آنها با سایر توالی‌های موجود در پایگاه اطلاعاتی PGI مشخص شد که در ذرت توالی‌های جدید و متنوع شبه‌سایکلوتاییدی وجود دارد.

تهیه سلول مستعد (Competent cell) و تاریختی

به منظور تهیه سلول‌های مستعد از باکتری *E.coli* سویه DH5α روش کلسیم کلراید به کار گرفته شد (Sambrook & Russell, 2001) ذوب و انجماد انجام گردید، در این روش به میزان ۱ ml از سلول مستعد را با ۱ ml از پلاسمید حاوی ژن موردنظر مخلوط گردید و به مدت ۹۰ s در دمای ۴۲°C و سپس بلافلائه به- مدت ۳ min روی یخ گذاشته شد. سپس ۱ ml، ۵۰۰ rpm دور ۳۷°C، ۱۸۰ s، به- آن اضافه گردید و در انکوباتور (C) حل شد و در دمای ۱-۲ h قرار داده شد. پس از مدت زمان موردنظر باکتری‌ها روی محیط کشت LB جامد حاوی آمپی سیلین (غلظت ۱۰۰ mg/ml)، IPTG و X-gal کشت گردیدند و پس از گذشت ۱۲ h کلونی‌های آبی و سفید مشاهده شدند. برای تأیید تاریختی مقداری از یک کلونی در ۱ ml آب مقطر حل شد و در دمای ۹۵°C به مدت ۵ min حرارت داده شد.

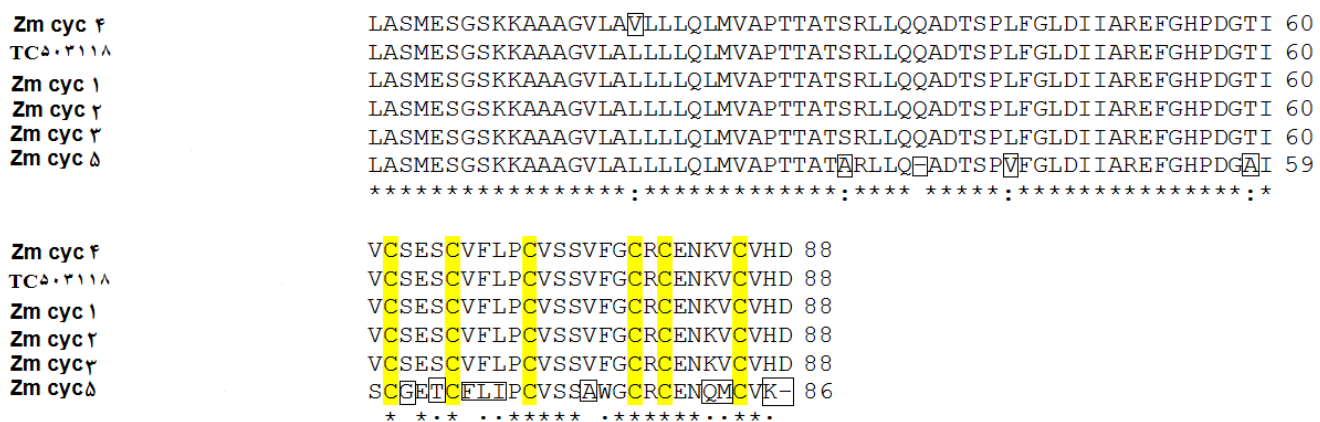
سپس دو میکrolیتر از مایع رویی به عنوان الگو در واکنش PCR استفاده شد و محصول PCR پس از انجام واکنش و برای مشاهده اندازه قطعه DNA موردنظر و تایید حضور ژن در کلونی مربوطه در ژل آگارز ۱٪ بارگذاری شد. کلونی‌هایی که حضور ژن موردنظر در آن‌ها تایید شد، بر روی LB جامد حاوی آمپی سیلین (غلظت ۱۰۰ mg/ml) واکشت شدند و پس از یک شبانه روز رشد برای استخراج پلاسمید به کار رفتند. استخراج پلاسمید به روش لیز قلیایی صورت گرفت. یک کلونی از باکتری‌های واکشت شده را به ۱/۵ ml LB مایع منتقل و داخل انکوباتور به مدت یک شبانه روز قرار داده سپس باکتری رشد کرده را سانتریفیوژ (۱۲۰۰۰ rpm و ۴۰°C، ۱ min) نموده و رسوب به دست آمده را در ۱۰۰ µl محلول سرد شامل ۱۰ mM EDTA (pH=۸) ۵ mM Tris-HCl، pH=۸)، ۵ mM گلوكز، pH=۸) حل گردید و به مدت ۵ min در دمای اتاق قرار داده شد و بعد ۲۰۰ µl از محلول حاوی ۰/۲ M NaOH و ۰/۱ M SDS به آن اضافه گردید و به آرامی مخلوط و ۵ min روی یخ ۴/۸ ۳ M استات پتاسیم ۱۵۰ µl گذاشته شد. سپس ۱۵۰ µl pH=۸ (pH=۸) اضافه کرده و ۱۵ min روی یخ قرار داده شد. پس از سپری شدن زمان لازم به مدت ۵ min در دمای ۴۰°C و ۱۲۰۰۰ rpm سانتریفیوژ شد. مایع رویی به تیوب جدید منتقل شد



شکل ۴: هم رדיافی توالی های پروتئینی مطالعه حاضر با توالی پروتئینی شبه سایکلوتاید ذرت موجود در PGI، قسمت های مختلف توالی ها مشخص شده است

Fig4: alignment of protein sequences in current study with maize cyclotide-like EST in ESTdatabase

CLUSTAL 2.1 multiple sequence alignment



شکل ۵: هم رديافی پروتئين های سایکلوتایدی به دست آمده دسته اول با یکی از پروتئین های شبه سایکلوتاید موجود در پایگاه داده (ESTdatabase)

Fig5: First class of *Z. mays* new cyclotide-like protein alignment with one putative cyclotide-like EST in ESTdatabase

Zm cyc 2	AGTGGCAGCAAGAAGGCCGCAGCCGGTGTGTTGGCGCTGCTGCTTCAGCTGATGGTA	289
Zm cyc 4	AGTGGCAGCAAGAAGGCCGCAGCCGGTGTGTTGGCGCTGCTGCTTCAGCTGATGGTA	289
Zm cyc 1	AGTGGCAGCAAGAAGGCCGCAGCCGGTGTGTTGGCGCTGCTGCTTCAGCTGATGGTA	207
Zm cyc 3	AGTGGCAGCAAGAAGGCCGCAGCCGGTGTGTTGGCGCTGCTGCTTCAGCTGATGGTA	185
Zm cyc 5	AGTGGCAGCAAGAAGGCCGCAGCCGGTGTGTTGGCGCTGCTGCTTCAGCTGATGGTA	355
<hr/>		
Zm cyc 2	GCACCGACGACGCCGAGCGTCCCGCTTGCTGCAGCAGGCCGATAACCTCCCCCTTGTTGGC	349
Zm cyc 4	GCACCGACGACGCCGAGCGTCCCGCTTGCTGCAGCAGGCCGATAACCTCCCCCTTGTTGGC	349
Zm cyc 1	GCACCGACGACGCCGAGCGTCCCGCTTGCTGCAGCAGGCCGATAACCTCCCCCTTGTTGGC	267
Zm cyc 3	GCACCGACGACGCCGAGCGTCCCGCTTGCTGCAGCAGGCCGATAACCTCCCCCTTGTTGGC	245
Zm cyc 5	GCACCGACGACGCCGAGCGTCCCGCTTGCTGCAGCAGGCCGATAACCTCCCCCTTGTTGGC	412
<hr/>		
Zm cyc 2	CTGGACATCATCGCGAGGGAGTTGGCATCCAGATGGAACCATCGCTGTAGTGAATCC	409
Zm cyc 4	CTGGACATCATCGCGAGGGAGTTGGCATCCAGATGGAACCATCGCTGTAGTGAATCC	409
Zm cyc 1	CTGGACATCATCGCGAGGGAGTTGGCATCCAGATGGAACCATCGCTGTAGTGAATCC	327
Zm cyc 3	CTGGACATCATCGCGAGGGAGTTGGCATCCAGATGGAACCATCGCTGTAGTGAATCC	305
Zm cyc 5	CTGGACATCATCGCGAGGGAGTTGGCATCCAGATGGAACCATCGCTGTAGTGAATCC	472
<hr/>		
Zm cyc 2	TGTGCTTCTAACCTCGGTTCTGCACTGCTTGGGATGCGAAAACAAGTTTG	469
Zm cyc 4	TGTGCTTCTAACCTCGGTTCTGCACTGCTTGGGATGCGAAAACAAGTTTG	469
Zm cyc 1	TGTGCTTCTAACCTCGGTTCTGCACTGCTTGGGATGCGAAAACAARAGTTTG	387
Zm cyc 3	TGTGCTTCTAACCTCGGTTCTGCACTGCTTGGGATGCGAAAACAARAGTTTG	365
Zm cyc 5	TGTGCTTCTAACCTCGGTTCTGCACTGCTTGGGATGCGAAAACAARAGTTTG	532
<hr/>		
Zm cyc 2	GTGCACGACTGAAGAACCTTCTTCAGT-----TCAGT-----CTTGTACCTTCT	512
Zm cyc 4	GTGCACGACTGAAGAACCTTCTTCAGT-----TCAGT-----CTTGTACCTTCT	512
Zm cyc 1	GTGCACGACTGAAGAACCTTCTTCAGT-----TCAGT-----CTTGTACCTTCT	430
Zm cyc 3	GTGCACGACTGAAGAACCTTCTTCAGT-----TCAGT-----CTTGTACCTTCT	408
Zm cyc 5	GTGCACGACTGAAGAACCTTCTTCAGT-----TCAGT-----CTTGTACCTTCT	585
<hr/>		
Zm cyc 2	CTCGTCAT-----TTGGTGTGAAGA-ACCAAGCTCCATC-----TTTGTAAACGAAATTG	560
Zm cyc 4	CTCGTCAT-----TTGGTGTGAAGA-ACCAAGCTCCATC-----TTTGTAAACGAAATTG	560
Zm cyc 1	CTCGTCAT-----TTGGTGTGAAGA-ACCAAGCTCCATC-----TTTGTAAACGAAATTG	478
Zm cyc 3	CTCGTCAT-----TTGGTGTGAAGA-ACCAAGCTCCATC-----TTTGTAAACGAAATTG	457
Zm cyc 5	CTCGTCAT-----TTGGTGTGAAGA-ACCAAGCTCCATC-----TTTGTAAACGAAATTG	644
<hr/>		
Zm cyc 2	TGTTGGGAGAAAACAGAAAAGACGGTGGTGTCAACCTATTGTGTTGGTGTGATTTAATAATA	620
Zm cyc 4	TGTTGGGAGAAAACAGAAAAGACGGTGGTGTCAACCTATTGTGTTGGTGTGATTTAATAATA	620
Zm cyc 1	TGTTGGGAGAAAACAGAAAAGACGGTGGTGTCAACCTATTGTGTTGGTGTGATTTAATAATA	538
Zm cyc 3	TGTTGGGAGAAAACAGAAAAGACGGTGGTGTCAACCTATTGTGTTGGTGTGATTTAATAATA	517
Zm cyc 5	TGTTGGGAGAAAACAGAAAAGACGGTGGTGTCAACCTATTGTGTTGGTGTGATTTAATAATA	704
<hr/>		
Zm cyc 2	ATATATAATAAACCGGGATACGTTGGATGTGTGTGCA-----AAAAA-----669	669
Zm cyc 4	ATATATAATAAACCGGGATACGTTGGATGTGTGTGCA-----AAAAA-----668	668
Zm cyc 1	ATATATAATAAACCGGGATACGTTGGATGTGTGTGCA-----AAAAA-----588	588
Zm cyc 3	ATATATAATAAACCGGGATACGTTGGATGTGTGTGCA-----AAAAA-----568	568
Zm cyc 5	ATATATAATAAACCGGGATACGTTGGATGTGTGTGCA-----AAAAA-----759	759

شکل ۶: هم‌ردیفی نوکلئوتیدی توالی‌های شبه‌سایکلوتاید به‌دست آمده از ذرت (کلاس ۱)

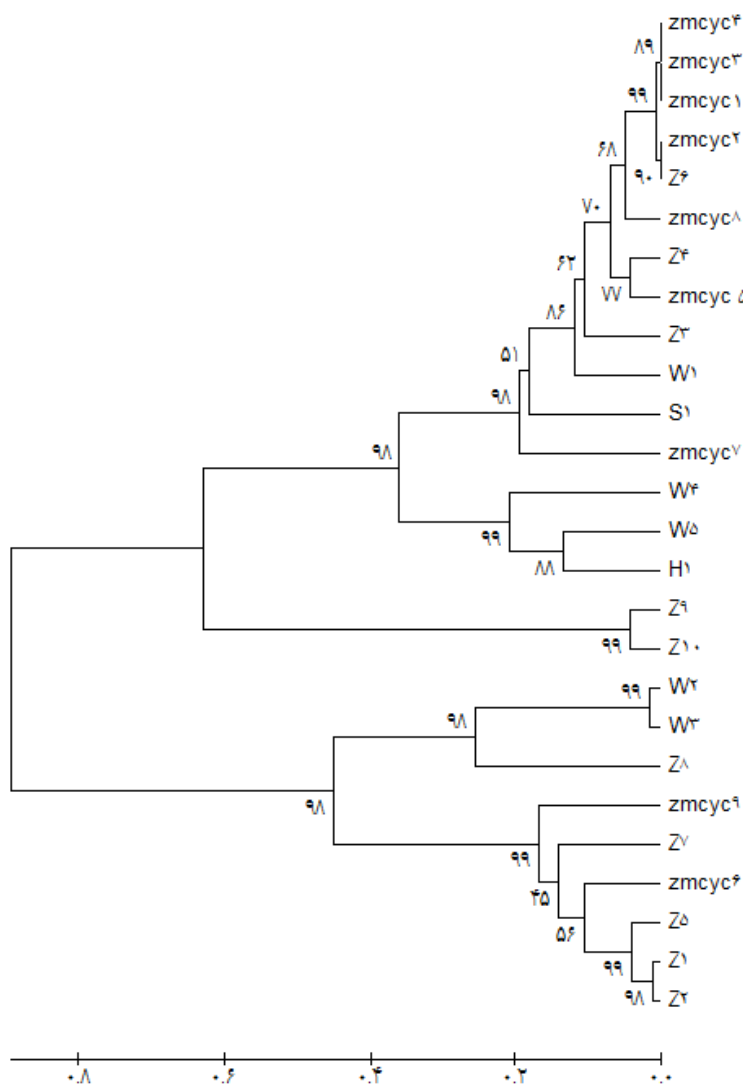
Fig 6: *Zea Mays* new cyclotide-like class I nucleotide alignment

پس از انجام تکنیک 3'RACE-PCR بود که نشان از شبه‌سایکلوتاید ۵e⁻²⁵ تا ۱e⁻¹⁵⁵ متفاوت بود که بودن توالی‌های همسانه شده در ذرت دارد. شبه‌سایکلوتایدهای به‌دست آمده به دو دسته تقسیم شدن. دسته اول توالی‌ها شباهت زیادی با توالی‌های شبه‌سایکلوتایدی شناخته شده داشتند که در شکل ۴ قسمت‌های مختلف این دسته و یکی از پروتئین‌های موجود در پایگاهداده مشخص شده است. این توالی‌های پروتئینی شامل قسمت‌های سیگنال، ناحیه ابتدایی، جایگاه شبه‌سایکلوتایدی و دم می‌باشد. طول سیگنال با نرم افزار *Signal P* (<http://www.cbs.dtu.dk>) حدود ۲۰-۳۰ اسید‌آمینه به‌دست آمد. طول ناحیه ابتدایی در شبه‌سایکلوتایدهای مختلف تا حدود ۷۰-۸۰ اسید‌آمینه می‌باشد، این شبه‌سایکلوتایدها حاوی شش اسید‌آمینه سیستئین حفظ

پس از انجام تکنیک 3'RACE-PCR در حدود ۵۰۰ در ژل آگارز ۱٪ مشاهده شد (شکل ۱) و با اندازه مورد انتظار شبه‌سایکلوتایدها همخوانی داشت. در نتیجه تعیین توالی ۱۲ کلونی تصادفی پس از استخراج پلاسمید نهایتاً نه ژن شبه‌سایکلوتاید در ذرت به‌دست آمد. آغازگر مستقیم در ناحیه حفاظت شده طراحی شده بود و بنا براین توانست تعدادی زیادی ژن را تکثیر کند. اندازه توالی‌ها بین ۴۱۳ تا ۵۱۳ نوکلئوتید متغیر بود. بلاست توالی‌های به‌دست آمده با توالی‌های موجود در پایگاه داده‌ای PGI و NCBI نشان داد که این توالی‌ها شبه‌سایکلوتاید هستند (جدول ۱). درصد تشابه توالی‌های به‌دست آمده با شبه‌سایکلوتایدهای موجود در پایگاه داده‌ای ذکر شده از ۹۵٪ تا ۷۴٪ متغیر بود و E value نیز از

(2003). این اسیدآمینه هیدروکسیله (Thr, Ser) در تمام توالی‌های شبه‌سایکلوتایید موجود در خانواده گرامینه (Rosengren et al. 2003). آخرین اسیدآمینه موجود در حلق هسه گلیسین یا آلانین می‌باشد که در اکثر سایکلوتاییدها حفظ شده است (Rosengren et al. 2003) که در این مطالعه گلیسین بود. طول قسمت دوم ۲-۱۲ اسیدآمینه می‌باشد و توالی‌های شبه سایکلوتایید براساس طول دم به دو دسته با طول دم کوتاه و دم بلند تقسیم می‌شوند. در این مطالعه تمامی توالی‌ها با طول دم کوتاه بودند.

شده می‌باشند که با فواصل مشخصی در کنار هم قرار گرفته‌اند. پیوند دی‌سولفید این سیستئین‌ها باعث ایجاد ۶ حلقه شده است. علاوه بر سیستئین‌های حفظ شده اسیدآمینه‌های حفظ شده دیگری هم در این ناحیه وجود دارد، اسیدآمینه گلوتامیک در حلقه یک در اکثر سایکلوتاییدها وجود دارد که در تمامی توالی‌های شبه‌سایکلوتاییدی به دست آمده از این مطالعه وجود داشت. این اسیدآمینه در پایداری ساختار پروتئین‌های سایکلوتایید نقش مهمی ایفا می‌نماید زیرا با سومین اسیدآمینه‌ی دارای گروه هیدروکسیل (Thr, Ser) موجود در حلقه سه پیوند هیدروژنی ایجاد می‌کند (Rosengren et al. 2003).



شکل ۷ : فیلوگرام پروتئین‌های شبه‌سایکلوتایید در بعضی از گرامینه‌ها (مشخصات فیلوگرام در جدول ۲ موجود می‌باشد)

Fig 7: Phylogenetic tree of cyclotide-like proteins in some gramineous plants

نظم خاصی پیروی نمی‌کند. شکل ۵ هم‌ردیفی پروتئینی شبه‌سایکلوتاییدهای به دست آمده را با شبه‌سایکلوتایید ذرت به شماره دستیابی TC503118 نشان می‌دهد. در این شکل

دسته دوم توالی‌های به دست آمده دارای شباهت اندکی با سایر شبه‌سایکلوتاییدهای شناخته شده می‌باشند و دارای طول سیگنال متفاوتی هستند. فاصله سیستئین‌های این دسته از

ژن‌های شبه‌سایکلوتایید به دست آمده از قسمت کلئوپتیل این گیاه بود. انتخاب کلئوپتیل بر اساس فراوانی EST ژن‌های شبه سایکلوتایید در پایگاه داده‌های PGI صورت گرفت، زیرا سایکلوتاییدها در این اندام فراوانی بیشتری نسبت به سایر اندام‌ها نشان دادند، بنابراین تعداد این ژن‌ها ممکن است بیشتر از آنچه در این مطالعه گزارش شده است باشد. بنابراین لازم است که از بافت‌های مختلف و در شرایط متفاوت استخراج و ژن‌های شبه‌سایکلوتایید همسانه‌سازی و مطالعه شوند. پروتئین‌های شبه سایکلوتاییدی دارای تنوع زیادی هستند که تعدادی از این توالی‌ها در این تحقیق گزارش شده است. تایید و حضور سایکلوتاییدها در غلات از اهمیت بالایی برخوردار است زیرا نشان دهنده‌ی حضور سایکلوتاییدها در تک لپه‌ای‌ها است. نتایج این مطالعه نشان می‌دهد که سایکلوتاییدها ممکن است از یک ژن اجدادی مشتق شده باشند که در جد مشترک تک‌لپه‌ای‌ها و دولپه‌ای‌ها وجود داشته است. مطالعات بیشتری در خصوص نقش این پروتئین‌های حلقوی در این گیاهان لازم است.

شباهت زیادی بین توالی‌ها مشاهده می‌شود، اما تفاوت‌هایی نیز وجود دارد که پروتئین‌ها را به سه دسته تقسیم می‌نماید. Zm Zm cyc 1, Zm cyc4 دسته اول شامل Zm cyc 3, Zm cyc 5 و دسته سوم شامل TC503118, Zmcyc2, Zm cyc 1 و دسته‌بندی بر اساس تفاوت در نوع ۵ می‌باشد. این دسته‌بندی هم‌آمیز است.

با وجود این شباهت پروتئینی، همردیفی نوکلئوتیدی (شکل ۶) تفاوت‌های بیشتری را نشان می‌دهد. در دسته دوم، Zm Zm cyc 3 دارای ۸ نوکلئوتید متفاوت با Zm cyc 1 است که اثبات می‌کند این پروتئین‌های تقریباً همسان از لحاظ نوکلئوتیدی متفاوتند. در شکل ۷ فیلوگرام پروتئین‌های شبه‌سایکلوتایید موجود در پایگاه داده با نشان می‌دهد این پروتئین‌ها به دو دسته کلی تقسیم می‌شوند که توالی‌های پروتئینی به دست آمده در این تحقیق در هر دو گروه قرار می‌گیرند که مشخصات این شبه‌سایکلوتاییدها در جدول ۲ مشخص شده‌است.

سایکلوتاییدها در دفاع گیاه در برابر عوامل مختلف بیماری‌زا نقش دارند. در مورد شبه‌سایکلوتاییدها گزارش‌های کمتری وجود دارد. در تحقیقی بر روی پروتئین‌های دفاعی که علیه قارچ *Ustilago maydis* در ذرت انجام شده است، GenBank: مشخص شد یک پروتئین شبه‌سایکلوتایید (AY679129.1) هم وجود داشت که مقدار آن بعد از حمله عامل بیماری زا افزایش یافت (Basse *et al.* 2005). دسته اول پروتئین‌های شبه سایکلوتایید به دست آمده در مطالعه حاضر شباهت زیادی با این پروتئین دارند. بنابراین تنوع بالای این ژن‌ها در ذرت ممکن است با نقش آنها در مقاومت به بیماری‌های مختلف مرتبط باشد.

منابع:

جهت ملاحظه منابع به صفحه‌های ۱۳-۱۴ متن انگلیسی مراجعه شود.

Cloning and Characterization of Cyclotide-like Genes in *Zea mays*

Torkaman¹, S., Bahramnejad^{2*}, B. and Koodary³, N.

Abstract

Cyclotides-like proteins are a family of small disulfide-rich and plant-derived peptides made up of ~30 amino acids. They contain a unique structural motif that consists of a head-to-tail cyclic backbone and knotted arrangement of three disulfide bonds, together referred to as the cyclic cystine knot (CCK). The cyclotides are antimicrobial circular peptides that have a variety of biological activities such as anti-HIV, anti-tumor, cytotoxic, hemolytic activity and etc. In current study, we have cloned new members of the cyclotide-like gene family from *Zea Mays* leaf cDNA using 3'RACE-PCR and specific primers based on sequences found in a continuous region of homology present in EST database. Clones were randomly picked and sequenced. Nine cyclotide-like genes were identified. Phylogenetic analysis divided them in two separate classes; first class with length 300-500nt showed similarity with classical cyclotide-like genes in databases. In contrast the other class was very different with length 90-500nt and showed variations in number of disulfide bands. The cloning of these genes in maize showed that they are very diverse and may have important role in plant response to different stresses.

Keywords: Cyclotide-like genes, Maize, 3'RACE-PCR

References

- Anderson, M. A. and Craik, D. J. 2006. Discovery of cyclotide-like protein sequences in graminaceous crop plants: ancestral precursors of circular proteins? *The Plant Cell*, 18: 2134-2144.
- Bahramnejad, B., Erickson, L. R. and Goodwin, P. H. 2010. Induction of expression susceptibility due to silencing a 4, 5-DOPA dioxygenase extradiol-like gene of *Nicotiana benthamiana* in the interaction with the hemibiotrophic pathogens, *Colletotrichum orbiculare* or *Pseudomonas syringae* pv. *Tabaci*, 178: 147-157.
- Chen, B., Colgrave, M. L., Daly, N. L., Rosengren, K. J., Gustafson, K. R. and Craik, D. J. 2005. Isolation and characterization of novel cyclotides from *Viola hederaceae*: solution structure and anti-HIV activity of vhl-1, a leaf-specific expressed cyclotide. *Biochemistry*, 280: 22395-22405.
- Christoph, W. B. 2005. Dissecting defense-related and developmental transcriptional responses of maize during *Ustilago maydis* infection and subsequent tumor formation. *Plant Physiology*, 138: 1774-1784.
- Colgrave, M. L. and Craik, D. J. 2004. Thermal, chemical, and enzymatic stability of the cyclotide kalata B1: the importance of the cyclic cystine knot. *Biochemistry*, 43: 5965-5975.
- Craik, D. J., Daly, N. L. and Bond, T. 1999. Plant cyclotides: a unique family of cyclic and knotted proteins that defines the cyclic cystine knot structural motif. *Molecular biology*, 294: 1327-1336.
- Derua, R., Gustafson, K. R. and Pannell, L. K. 1996. Analysis of the disulfide linkage pattern in circulin A and B, HIV-inhibitory macrocyclic peptides. *Biochemical and Biophysical Research Communications*, 228: 632-638.
- Gran, L. 1973. Effect of a polypeptide isolated from Kalata-Kalata (*Oldenlandia-Affinis* DC) on estrogen dominated uterus. *Acta Pharmacol Toxicol*, 33: 400-408.

1. M.Sc students, Agricultural Biotechnology, Department of Agricultural Biotechnology, Faculty of Agriculture, University of Kurdistan, Sanandaj

2. Assistant Professor, Department of Agricultural Biotechnology, Faculty of Agriculture, University of Kurdistan, Sanandaj

*: Corresponding Author Email: b.bahramnejad@uok.ac.ir

- Gruber, C. W., Cemazar, M., Anderson, M. A. and Craik, D. J. 2007. Insecticidal plant cyclotides and related cystine knot toxins. *Toxicon*, 49: 561-57.
- Herrmann, A., Burman, R., Mylne, J. S., Karlsson, G., Gullbo, J., Craik, D. J., Clark, R. J. and Goransson, U. 2008. The alpine violet, *Viola biflora*, is a rich source of cyclotides with potent cytotoxicity . *Phytochemistry*, 69: 939-952.
- Jennings, C. V., Rosengren, K. J., Daly, N. L., Plan, M., Stevens, J. and Scanlon, M. J. 2005. Isolation, solution structure, and insecticidal activity of Kalata B2, a circular protein with a twist: do mobius strips exist in nature?. *Biochemistry*, 44: 851-860.
- Jennings, C., West, J., Waine, C., Craik, D. and Anderson, M. 2001. Biosynthesis and insecticidal properties of plant cyclotides: the cyclic knotted proteins from *Oldenlandia affinis*. *Proceedings of the National Academy of Sciences*, 98:10614-10619.
- Keith, K. M., Bogusky, M. J., Anderson, P. S., Ramjit, H., Ransom, R. W., Wood, T. and Sardana, M. 1994. Cyclopsyhotride-A, a biologically-active, 31-residue cyclic peptide isolated from *psychotria longipes*. *Journal of Natural Products*, 57: 1619-1625.
- Lindholm, P., Goransson, U., Johansson, S., Claeson, P., Gullbo, J., Larsson, R., Bohlin, L. and Backlund, A. 2002. Cyclotides: a novel type of cytotoxic agents. *Molecular Cancer Therapeutics*, 1: 365-369.
- Mulvenna, J. P., Mylne, J. S., Bharathi, R., Burton, R. A., Shirley, N. J., Fincher, G. B., Nourse, A., Trabi, M., Daly, N. L. and Craik, D. J. 2004. A comparison of the self-association behavior of the plant cyclotides kalata B1 and kalata B2 via analytical ultracentrifugation. *The Journal of Biological Chemistry*, 279: 562-570.
- Saether, O., Craik, D. J., Campbell, I. D., Sletten, K., Juul, J. and Norman, D. G. 1995. Elucidation of the primary and 3-dimensional structure of the uterotonic polypeptide Kalata B1. *Biochemistry*, 34: 4147-4158.
- Schöpke, T. H., Hasan Agha, M. I., Kraft, R., Otto, A. and Hiller, K. 1993. Hämolytisch athog komponenten aus *Viola tricolor*L. and *Viola arvensis* Murray. *Scientia Pharmaceutica*, 61: 145-153.
- Witherup, K. M., Bogusky, M. J., Anderson, P. S., Ramjit, H., Ransom, R. W., Wood, T. and Sardana, M. 1994. Cyclopsyhotride A, a biologically active, 31-residue cyclic peptide isolated from *Psychotria longipes*. *Nature*, 367: 1619-1625.
- Zhang, J., Liao, B., Craik, D. J., Li, J. T., Hu, M. and Shu, W. S. 2009. Identification of two suites of cyclotide precursor genes from metallophyte *Viola baoshanensis*: cDNA sequence variation, alternative RNA splicing and potential cyclotide diversity. *Gene*, 431: 23-32.